

整数 DCT (BinDCT) 快速算法*

朱桂华

(常德师范学院计算机系, 湖南 常德 415000)

摘要: 设计和实现了基于提升结构的无乘法二进制 DCT (BinDCT) 的快速算法。该算法是在基于旋转变换的递归算法基础上设计的, 并将传统的旋转变换的 3 个提升矩阵乘积减少至 2 个提升矩阵乘积, 从而使算法的运算量比现有算法大为减少。

关键词: 离散余弦变换; 二进制离散余弦变换; 提升结构

中图分类号: TN957.52 **文献标识码:** A

Fast Algorithm for Integer DCT (BinDCT)

ZHU Gui-hua

(Department of Computer, Changde Teacher's College, Changde 415000, China)

Abstract: In this paper, we design and implement fast multiplierless approximations of the discrete cosine transform (DCT) with the lifting scheme, named the BinDCT, which avoids floating-point operations. This algorithm is derived from the plane rotation-based algorithm, which reduces 3 lifting steps to 2 lifting steps via the plane rotation. So the arithmetic operation cost is reduced greatly.

Key words: DCT; BinDCT; lifting scheme

离散余弦变换 (DCT) 具有非常好的能量压缩性能, 因而在数字语音及图像处理等领域有着广泛的应用, 现已成为 JPEG、H.26X 和 MPEG 上许多国际标准的核心。理论上已经证明, 一维 8 点 DCT 所需的乘法与加法数量至少是 11 和 29 个。然而, 在图像和视频处理中, 量化阶段通常需要压缩数据, 所以可以将 DCT 的某些运算放到量化阶段处理, 从而能降低算法的运算量, 这就产生了所谓的尺度 DCT (Scaled DCT)。此时所有的快速 DCT 算法仍需要用到浮点数的乘法, 一定程度上降低了计算机软、硬件实现浮点 DCT 的速度。为了获得更快的速度, 许多算法都利用整数进行近似, 用整数乘法来替代浮点乘法, 从而建立速度较浮点算法大大提高的整数 DCT 算法。1999 年后发展起来的二进制 DCT 利用提升结构消去了乘法^[4], 只用移位和加法来实现, 得到基于提升结构的无乘法 DCT。提升结构不仅能实现灵活的正交变换, 而且还能达到无损压缩效果, 因此在变换编码中是一个非常有用的工具。本文在文献 [4] 的基础上加以改进, 提出了一种新型 BinDCT 算法。基本思想与 Traif^[2] 的 BinDCT 方法一致, 但将 8 点 BinDCT 推广为任意长度的 BinDCT。

1 8 点 DCT 算法描述

为简单起见, 用图 1 表述 8 点 DCT 的算法过程。从图 1 可以看出 8 点 DCT 中浮点乘法与加法不可避免。下面讨论用移位和加法实现的整数 DCT 算法。为方便起见, 不考虑变换因子 $\sqrt{\frac{2}{N}}$, 因此逆变换时应乘以因子 $2/N$ 。

为了建立整数 DCT 算法, 首先看如下的等式:

$$\begin{bmatrix} \cos\alpha & -\sin\alpha \\ \sin\alpha & \cos\alpha \end{bmatrix} = \begin{bmatrix} 1 & \alpha \\ 0 & 1 \end{bmatrix} \begin{bmatrix} 1 & 0 \\ \alpha & 1 \end{bmatrix} \begin{bmatrix} 1 & b \\ 0 & 1 \end{bmatrix} \quad (1)$$

解得 $a = \sin\alpha$, $b = -\tan\frac{\alpha}{2}$ 。因此有下面结论: 一个旋转变换可以表示成 3 个提升矩阵的乘积, 即

* 收稿日期: 2001-10-10
基本项目: 国家自然科学基金资助项目 (10171109)
作者简介: 朱桂华 (1964—), 女, 讲师。

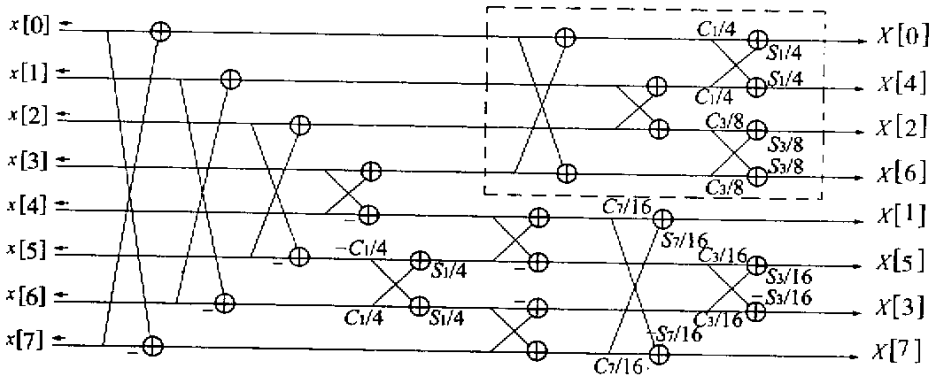


图1 基于旋转变换的8点DCT的算法流程图

Fig.1 Butterfly graph of length 8 DCT via rotations

$$\begin{bmatrix} \cos \alpha & -\sin \alpha \\ \sin \alpha & \cos \alpha \end{bmatrix} = \begin{bmatrix} 1 & -\tan \frac{\alpha}{2} \\ 0 & 1 \end{bmatrix} \begin{bmatrix} 1 & 0 \\ \sin \alpha & 1 \end{bmatrix} \begin{bmatrix} 1 & -\tan \frac{\alpha}{2} \\ 0 & 1 \end{bmatrix} \quad (2)$$

由式(2)不难看出提升矩阵有如下特点:

(1) 一个提升矩阵的逆矩阵仍然是一个提升矩阵,且逆变换避免了除法;

(2) 对提升因子取整或取近似,逆变换得到的值与原始值没有差别。(如果 $x(i)$ 为整数),即对于运算 $y(i) = x(i) + [ax(j)]$, $y(k) = x(k)$, $k \neq i$ (本文中 $[]$ 表示取整或取近似),其逆运算为 $x(i) = y(i) - [ay(j)]$, $x(k) = y(k)$, $k \neq i$, 可以做到逆变换得到的值与原始值没有差别。

利用提升矩阵的第2条性质,可以对提升因子 a 和 b 取近似为 $\frac{c}{2^k}$ ($c, k \in Z$), 则提升结构就可以实现无乘法运算,完全由移位和加法来实现。例如, $\frac{3}{16} = \frac{1}{8} + \frac{1}{16}$, 提升因子 $\frac{3}{16}$ 就可用2个移位和1个加法来实现。

由于1个平面旋转变换可以表示成3个提升矩阵的乘积,为了减少运算量,将旋转矩阵表示为

$$\begin{bmatrix} \cos \alpha & \sin \alpha \\ -\sin \alpha & \cos \alpha \end{bmatrix} = \begin{bmatrix} \cos \alpha & 0 \\ 0 & 1/\cos \alpha \end{bmatrix} \begin{bmatrix} 1 & 0 \\ -\sin \alpha \cos \alpha & 1/\cos \alpha \end{bmatrix} \begin{bmatrix} 1 & \tan \alpha \\ 0 & 1 \end{bmatrix} \quad (3)$$

2 任意长度的 BinDCT 算法设计

建立一种只需要移位和加法来实现的任意长度的 BinDCT- II 算法 ($N = 2^t$, $t \geq 3$), 算法过程描述如下(对应流程图见图2):

算法1: BinDCT- II 的算法:

step1: $g(n) = x(n) + x(N-n-1)$, $h(n) = x(n) - x(N-n-1)$, $n = 0, 1, \dots, N/2-1$

step2: 对 $g(n)$ 计算 BinDCT- II 的 $C_{N/2}^{\text{II}}$ 得 $G(n)$, $n = 0, 1, \dots, N/2-1$, 对 $h(n)$ 计算 BinDCT- IV 的 $C_{N/2}^{\text{IV}}$ 得 $\alpha(n)$, $n = N/2, \dots, N-1$;

step3: 对 $\{G(0), G(1), \dots, G(N-1)\}$ 进行重排, 得 $X(k) = G(2k)$, $X(N/2+k) = G(2k+1)$ 。其中2点 BinDCT- II 为

$$\begin{bmatrix} X(0) \\ X(1) \end{bmatrix} = \begin{bmatrix} \cos \frac{\pi}{4} & \sin \frac{\pi}{4} \\ -\sin \frac{\pi}{4} & \cos \frac{\pi}{4} \end{bmatrix} \begin{bmatrix} x(0) \\ x(1) \end{bmatrix} \approx \begin{bmatrix} 1 & 1 \\ 0 & 1 \end{bmatrix} \begin{bmatrix} 1 & 0 \\ \frac{1}{2} & -1 \end{bmatrix} \begin{bmatrix} x(0) \\ x(1) \end{bmatrix} \quad (4)$$

算法2 (BinDCT- IV 的算法):

step1: 按照 $\begin{bmatrix} y(2k-1) \\ y(2k) \end{bmatrix} = R_{\frac{\pi}{4}} \begin{bmatrix} x(2k-1) \\ x(2k) \end{bmatrix}$ ($k = 1, 2, \dots, N/2-1$) 作提升变换(3个提升步),

$y(0) = x(0), y(N-1) = x(N-1);$

step2 对 $y(k)$ 作序列重排, 得
$$\begin{cases} p(k) = y(2k), k = 0, 1, \dots, N/2 - 1 \\ p(N/2 + k) = y(N - 2k - 1), k = 0, 1, \dots, N/2 - 1 \end{cases}$$

然后分别计算 $p(k), k = 0, 1, \dots, N/2 - 1$ 与 $p(k), k = N/2, \dots, N - 1$ 的 $N/2$ 的 BinDCT - III (即 $N/2$ 的 BinDCT - II 的逆), 设其输出为 $P(k), k = 0, 1, \dots, N/2 - 1$ 与 $P(k), k = N/2, \dots, N - 1$;

step3 对 $P(k)$ 的后半部作重排, 得

$[p(N/2), p(N/2 + 1), \dots, p(N - 1)] = [-p(N - 1), p(N - 2), -p(N - 3), \dots, p(N/2)]$

step4 $[X(0), \dots, X(N - 1)] = T[P(0), \dots, P(N - 1)]$ 作提升变换 (若 N 是递归步的 N , 则用 3 个提升步; 若 N 是初始的 N , 则用 2 个提升步)。

BinDCT - II, BinDCT - IV 的算法流程如图 2 所示。

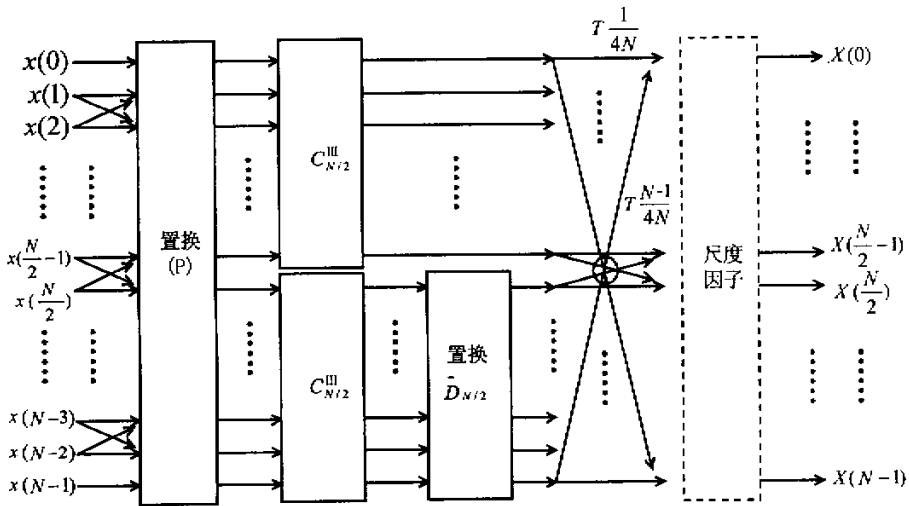


图 2 N 点 BinDCT - IV 算法 ($N = 2^t, t \geq 3$)

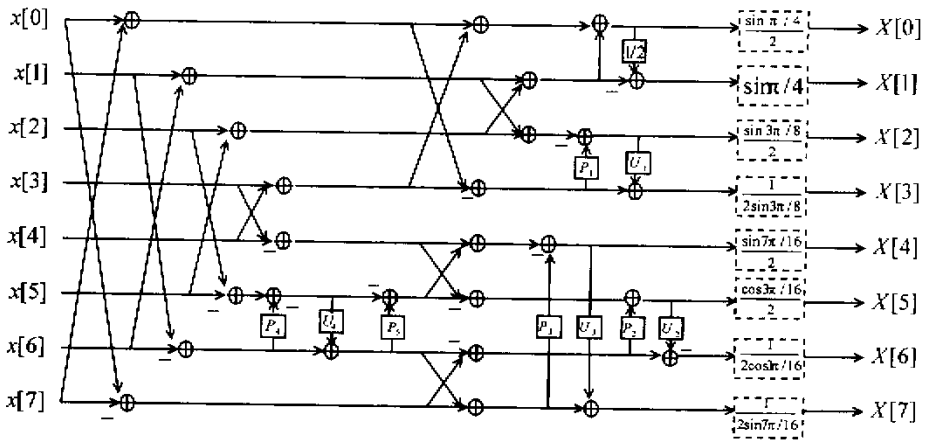
Fig.2 BinDCT-IV algorithm of N points ($N = 2^t, t \geq 3$),)

图 3 给出 8 点 BinDCT 的整数实现流程。

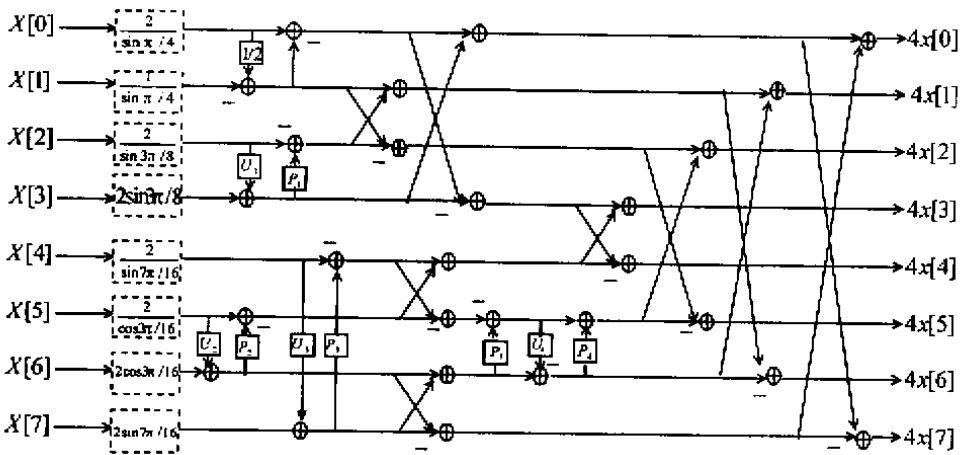
图 3 与图 1 相比可以看出, 正变换的输出顺序有所改变, $X[2]$ 与 $X[6]$ 互换, $X[1]$ 与 $X[7]$ 互换。比较一下 $X[1]$ 与 $X[7]$ 换与不换的频率响应效果的差异, 不难看出不换时频率与真实的相差很大, 而交换顺序后基本一致。

3 结论

- (1) 正逆变换都仅通过移位和加法来实现, 是一种高效、低成本快速算法;
- (2) 尺度 DCT (scaled DCT) 的思想被应用时可以进一步降低 binDCT 的计算复杂度;
- (3) BinDCT 继承了所有其它 DCT 快速算法的优点。如较高的编码量 (coding gain), 对称基础函数, 递归结构等;
- (4) 当长度为 8 时, 算法与 Tran 的算法一致^[6], 但克服了只局限于 8 点的缺陷。



(a) 正变换



(b) 逆变换

图3 8点 BinDCT-II 的正逆变换的算法流程图

Fig.3 Total BinDCT-II algorithm for 8 points

参考文献：

- [1] Ahmed N, Natand T, Rao K R. Discrete cosine transform [J]. IEEE Trans. Comput., C-23: 90-93, 1974.
- [2] Rao K R, Yip P. Discrete Cosine Transform [M] Academic Press, New York, 1990.
- [3] MPEG Software Simulation Group (MSSG) [R]. MPEG2 Encoder/Decoder, Version 1.2 (Online), Available HTTP: <http://www.mpeg.org/MSSG/>, Jun. 1996.
- [4] Chen Y J. Integer discrete cosine transform (IntDCT) [C]. Invited paper, The second Int. Conf. Inform. Comm. And Signal Processing, 1999.
- [5] Cheng Li zhi, Xu Hui, Luo Yong. Integer discrete cosine transform (IntDCT) and its fast algorithm [J]. IEE Electron. Lett., 37(1), 2001.
- [6] Tran T D. A fast Multiplierless block transform for image and video compression [C]. Proc. of the IEEE ICIP-1999, 3: 822-826, 1999.

